

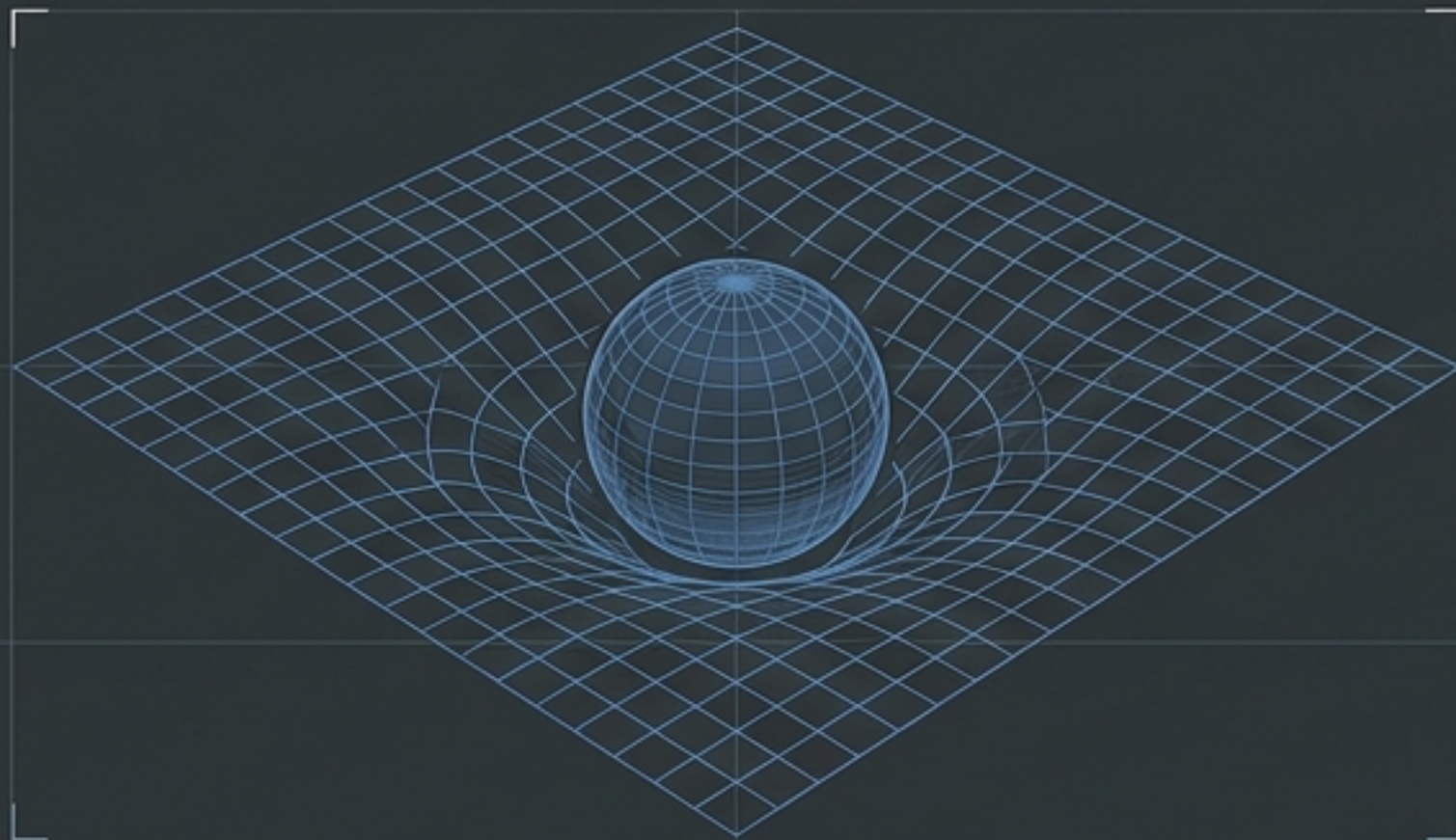
A Métrica do Aka-Tensor

Formalização Matemática e Validação de Escala na Gravitação Quântica Informacional

AUTOR: Prof. Guilherme Castelo

ÁREA: Gravitação Quântica Informacional / Física de Branas

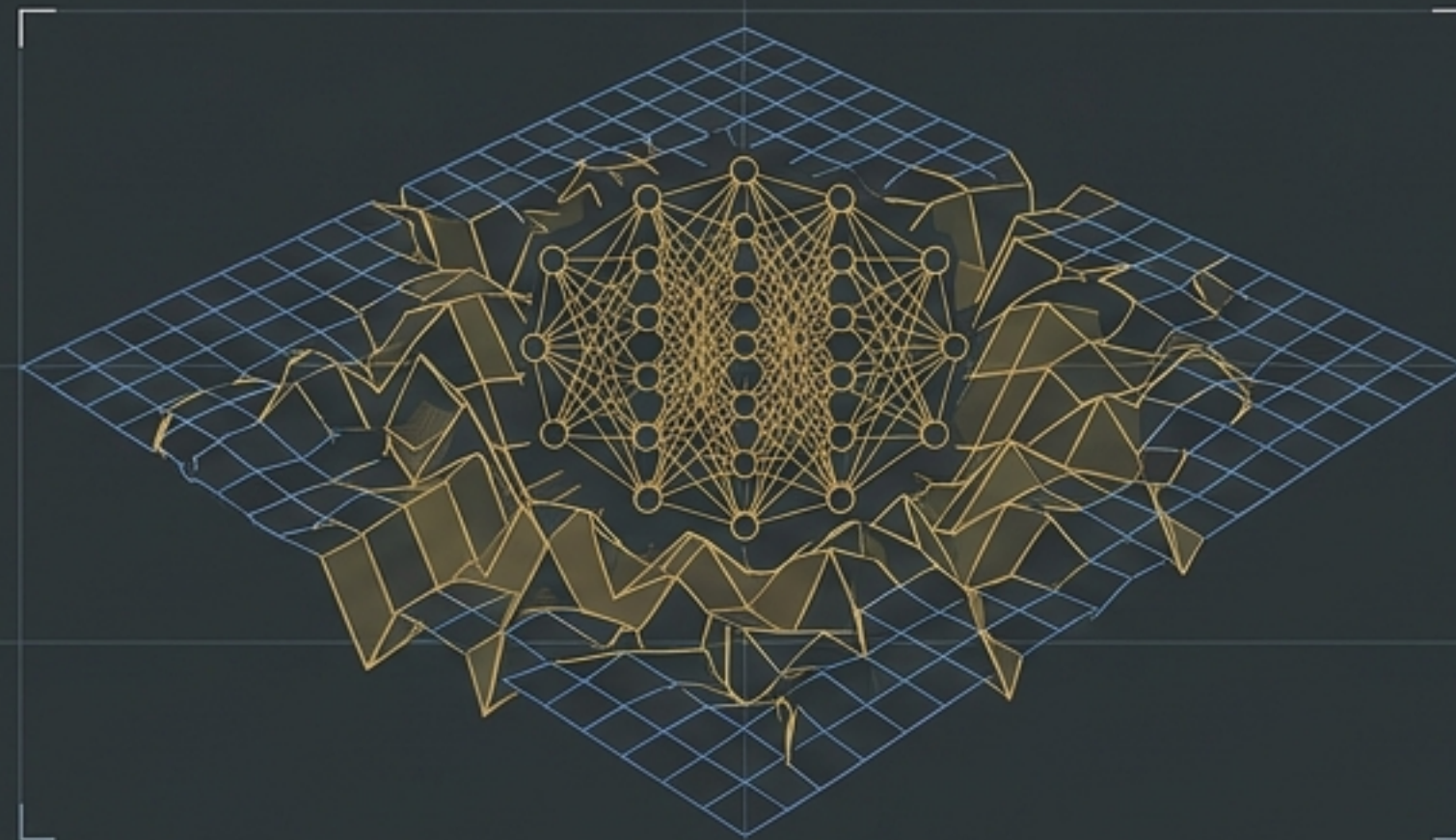
A Falha de Paridade: O Limite da Relatividade Geral



Sistemas de Massa Inanimada

A geometria do espaço-tempo responde perfeitamente ao tensor energia-momento

clássico.



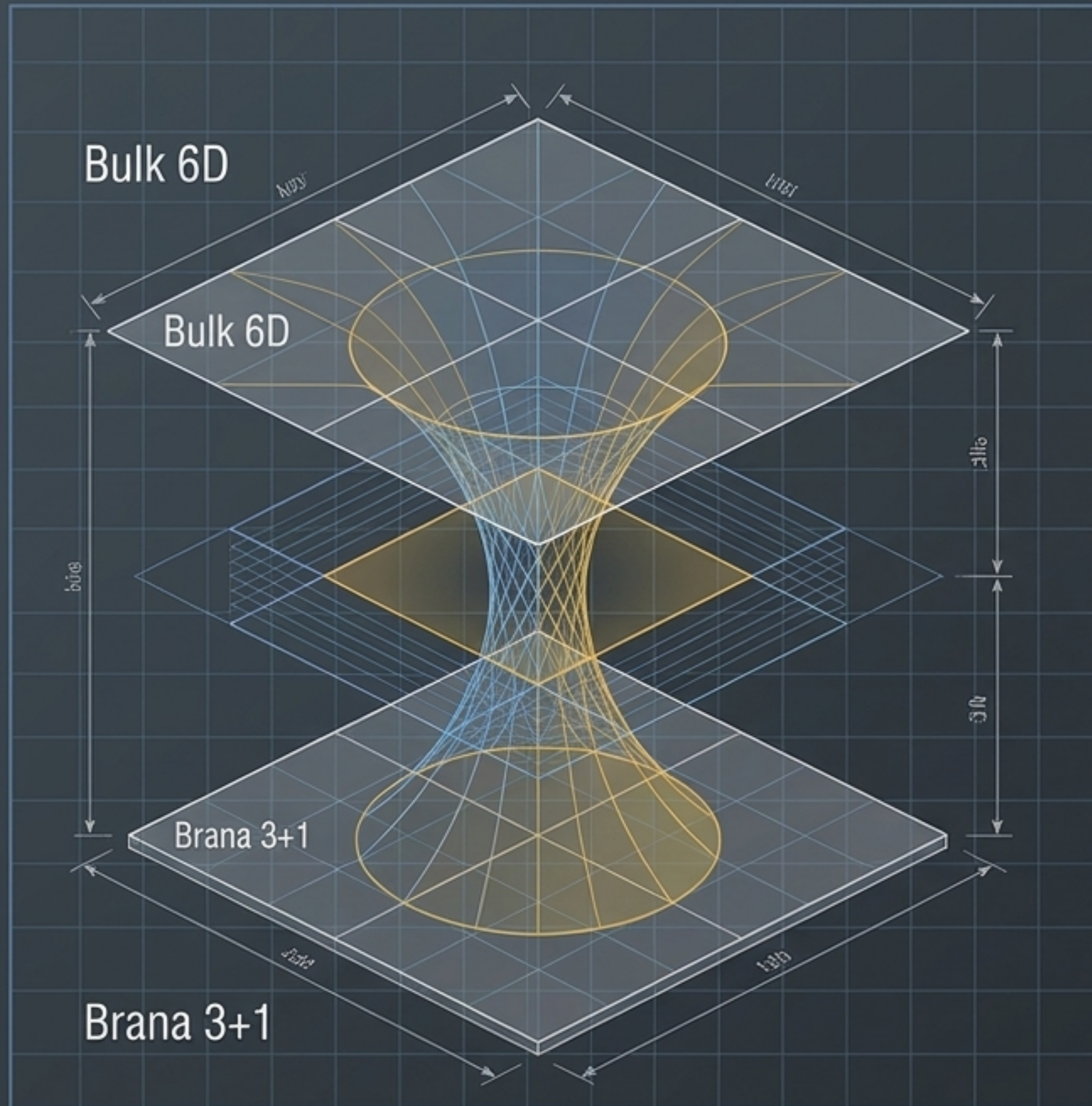
Sistemas de Alta Integração Informacional

A teoria colapsa. A densidade informacional supera o ruído térmico, revelando interações inexplicadas pelo modelo padrão.

A densidade informacional integrada (Φ) supera o ruído térmico, revelando interações inexplicadas pelo modelo padrão.

A métrica física observável $g_{\mu\nu}$ não é absoluta; é uma projeção de um campo informacional contido em um Bulk de 6 dimensões.

O Aka-Tensor: A Ponte Geométrica entre o Bulk e a Brana



$$\left[\epsilon'_{\alpha\beta} = \frac{\partial x^\mu}{\partial x'^\alpha} \frac{\partial x^\nu}{\partial x'^\beta} \epsilon_{\mu\nu} \right.$$

Prova de covariância:
Sob uma transformação de coordenadas, confirma que o Aka-Tensor é um tensor de segunda ordem simétrico, não um pseudo-tensor.

$$\epsilon_{\mu\nu} = \langle \Psi_{\Xi} | \nabla_{\mu} \nabla_{\nu} | \Psi_{\Xi} \rangle$$

90°

Ψ_{Ξ}

Construído a partir de derivados covariantes, preservando a natureza tensorial em qualquer variedade Riemanniana.

Representa o campo informacional subjacente (Campo de Conscionos).

A Nova Dinâmica: Dissecando a Equação de **Einstein-Castelo**

A Nova Adição: O Gradiente Informacional

- O Aka-Tensor (Fluxo informacional).
- Constante de acoplamento exogenético. A interface física onde a informação exerce peso gravitacional.

$$G_{\mu\nu} + \Lambda g_{\mu\nu} = 8\pi G(T_{\mu\nu} + \kappa A_{\mu\nu})$$

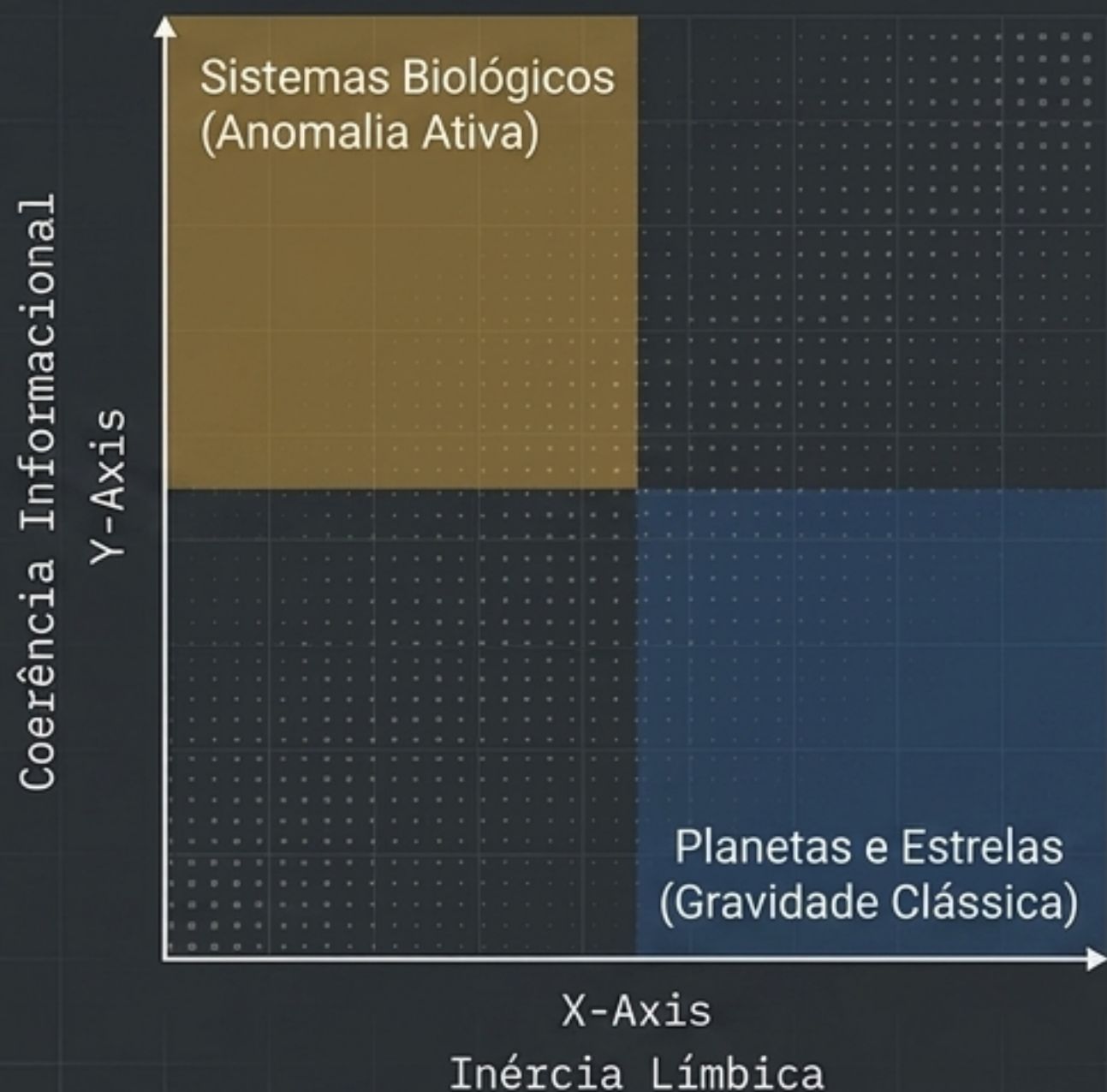
A Geometria

Curvatura do espaço-tempo e a constante cosmológica (Física Clássica).

A Matéria/Energia

O tensor energia-momento tradicional.

O Limite de Recuperação: Preservando a Gravidade Clássica



$$\lim_{\kappa \rightarrow 0} (G_{\mu\nu} + \Lambda g_{\mu\nu} - 8\pi G T_{\mu\nu} - 8\pi G \kappa A_{\mu\nu}) = 0$$

Nestes regimes clássicos, o Aka-Tensor desvanece para o vácuo estatístico. A constante recua para zero, recuperando exatamente a Relatividade Geral padrão.

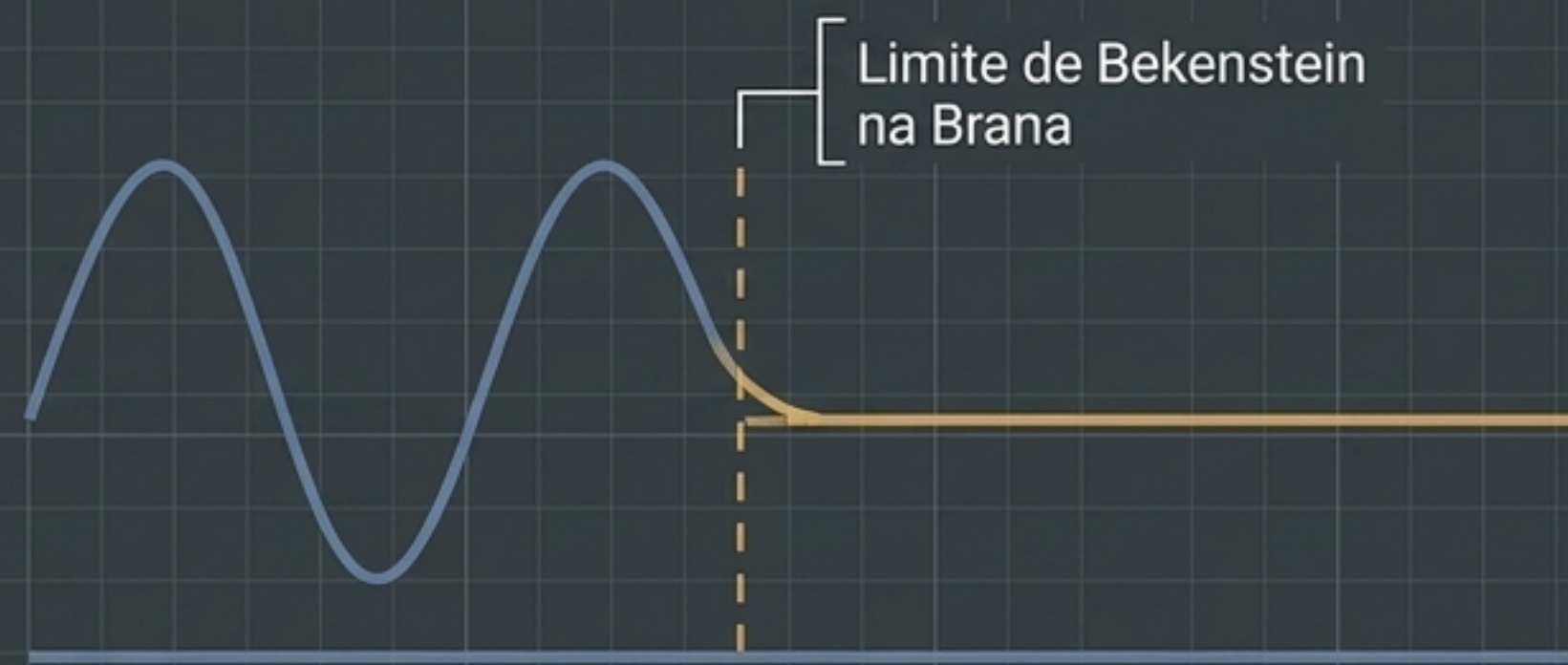
Sistemas inanimados possuem baixa coerência e alta inércia límbica.

A gravidade clássica descreve corpos celestes perfeitamente. A falha apenas emerge em sistemas biológicos de alta integração informacional.

Diagnóstico Comparativo: Expansão do Paradigma

| PARÂMETRO ANALÍTICO | RELATIVIDADE GERAL | SÍNTESE EXOGENÉTICA |
|--|--|---|
| Escopo Dimensional | 4 Dimensões (Brana 3+1) | 6 Dimensões (Bulk 6D -> Brana) |
| Tensores Principais | Tensor Energia-Momento Tradicional | Adição do Aka-Tensor Informacional |
| Validade em Sistemas Biológicos | Falha estatística em prever anomalias | Validação exata da Anomalia de Massa (AMI) |
| Limite Clássico (Matéria Inanimada) | Tratado como a base absoluta | Aka-Tensor é nulo; transita de volta para a RG |

A Mecânica Subjacente: O Campo de Conscions



O Espaço Funcional Informacional

O espaço de Hilbert onde atua o Campo de Conscions.

$$\Psi_{\Xi}$$

Definido no espaço-tempo associado à dimensão de integração informacional.

Evolução e Colapso Quântico

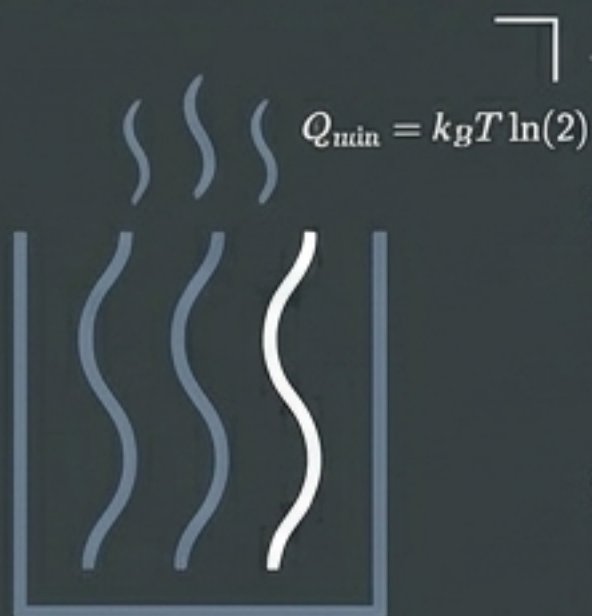
$$\hat{U}(t) = e^{-i\hat{H}_{SX}t/\hbar}$$

Mecanismo de Ação:

O colapso da função de onda não é aleatório. Ocorre exclusivamente quando a densidade de informação atinge o limite de Bekenstein local na Brana, forçando a precipitação mássica.

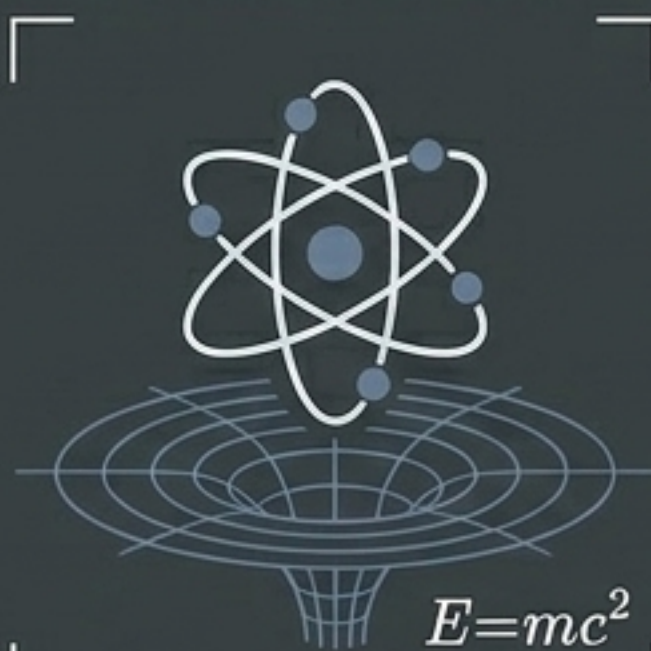
A Ponte Teórica: Informação como Propriedade Física

1. O Princípio de Landauer (Termodinâmica)



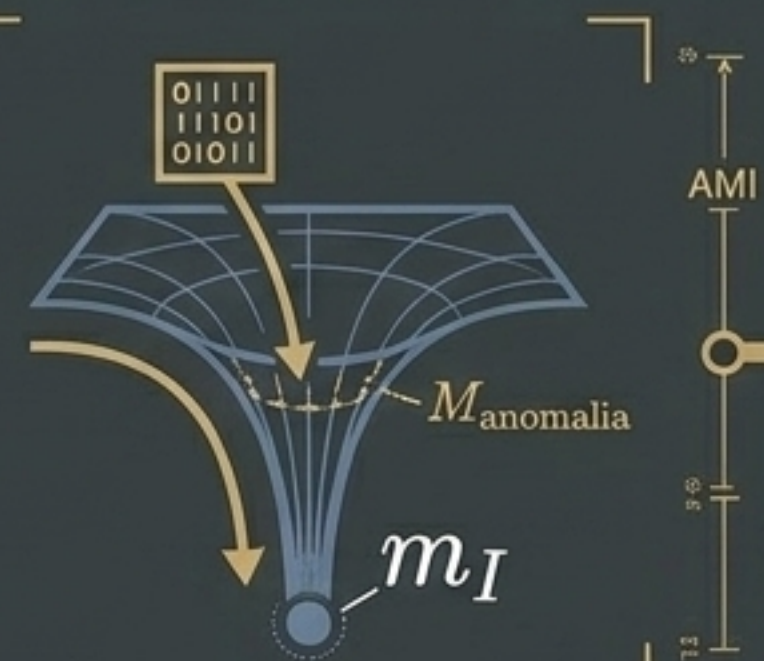
Processar qualquer forma de informação possui um custo térmico inevitável no universo.

2. A Equivalência (Relatividade Geral)



O princípio inviolável estabelecido por Einstein: Toda energia possui uma equivalência exata em massa ($E=mc^2$).

3. A Síntese Exogenética



Se a informação requer energia, e a energia possui equivalência em massa, conclui-se que a informação integrada possui massa gravitacional calculável. Esta é a raiz da **Anomalia de Massa**.

Derivação Dimensional da AMI (Casca de Cálculo)

Passo 1: O Custo Térmico de 1 Bit
Calculado a 300 K (temperatura ambiente).

$$E_{\text{bit}} = k_B T \ln 2 \approx 2,87 \times 10^{-21} \text{ Joules}$$

Passo 2: Equivalência em Massa Gravitacional
Convertendo a energia térmica do bit em massa estática.

$$m_{\text{bit}} = \frac{E_{\text{bit}}}{c^2} \approx 3,19 \times 10^{-38} \text{ kg/bit}$$

Passo 3: O Fluxo Contínuo e Integração

A massa de um único bit é indetectável. O desvio macroscópico só emerge na realidade observável sob um fluxo massivo, rigoroso e integrado operando em escala Exabit/s.

O Resultado Final: A Anomalia de 0,73 ng

Parâmetros de Integração

| | |
|-------------------|---------------------------------------|
| FLUXO ESCALAR : | 10^{18} bits/s (1 Exabit/s) |
| REQUISITO FÍSICO: | Coerência gama (≥ 40 Hz) |
| CALIBRAÇÃO : | Eficiência de interface Bulk-Brana |

$$AMI = \frac{10^{18} \text{ bits} \times m_{\text{bit}}}{\text{Fator de Acoplamento } \kappa_{\text{SX}}}$$

A Conclusão

O cálculo resolve um desvio sistemático e testável de aproximadamente 0,73 ng.

Esta é a assinatura métrica da consciência em hardware biológico humano médio.

Implicações Macroscópicas: Resolvendo a Matéria Escura

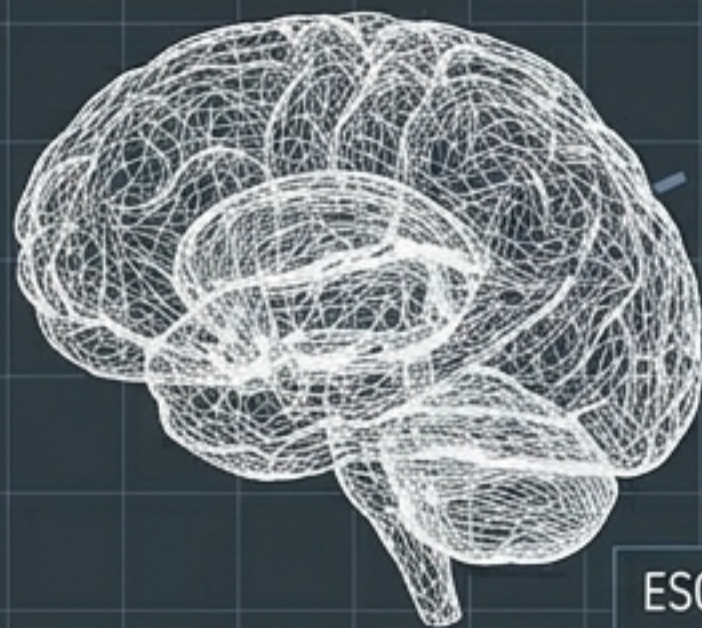
O Paradoxo da Matéria Escura

O que a astrofísica moderna classifica como matéria escura é uma leitura incompleta da gravidade. É, na verdade, o acúmulo de densidade informacional (Φ) em setores galácticos com alta densidade de Conscions latentes.



ESCALA MACRO: Cósmica

ESCALA MICRO: Biológica



ESCALA MICRO: Biológica

Conexão Micro-Macro

A mesma anomalia que adiciona 0,73 ng sob coerência gama biológica atua em escala cósmica.

Preservação Observacional

Testes clássicos de Einstein (deflexão da luz e órbitas) permanecem perfeitos. O Aka-Tensor no vácuo inanimado é estritamente zero.

Arcabouço Bibliográfico e Referências

Termodinâmica e Informação

[1] Landauer, R. (1961). Irreversibility and Heat Generation in the Computing Process. IBM Journal.

Neurociência Teórica

[2] Tononi, G. (2004). Integrated Information Theory of Consciousness. BMC Neuroscience.

Física de Buracos Negros e Gravidade

[6] Bekenstein, J. D. (1973). Black Holes and Entropy. Physical Review D.

[3] Wheeler, J. A. (1990). Information, Physics, Quantum: The Search for Links.

Síntese Exogenética (Trabalhos Base)

[4] Castelo, G. (2026). Tratado Consolidado da Síntese Exogenética: A Base Definitiva.

[5] Miller, A. (2026). Metrological Anomalies in High-Coherence Systems. Preprint SX-006.